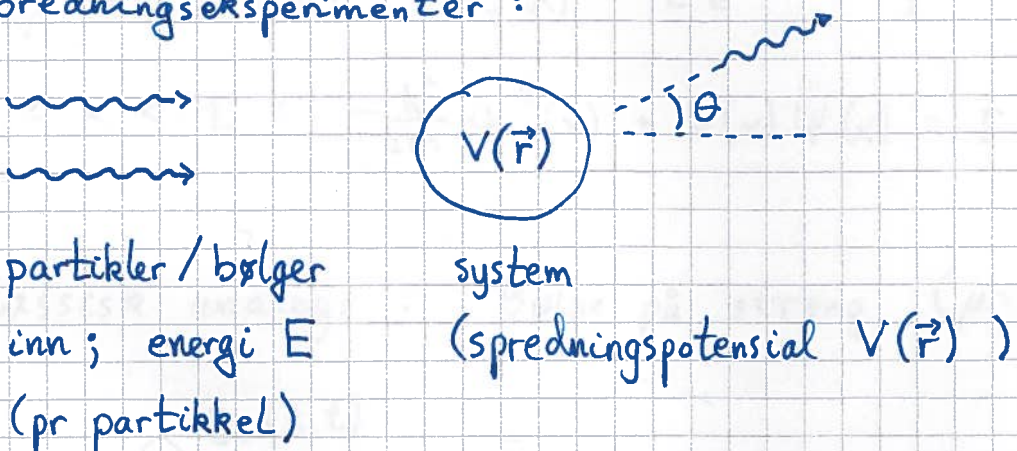


# Spredning og tunneleffekt

[ PCH 3.6 ; DFG 2.5-2.7 ; IØ 3.6 ]

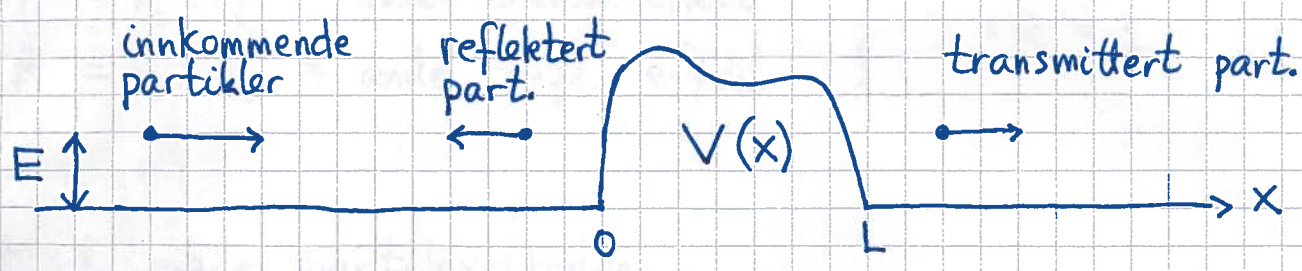
Spredningeksperimenter :



Måling av spredt intensitet som funksjon av spredningsvinkel  $\theta$  og partikkelenergi  $E^p$  gir informasjon om systemet.

[TFY4220, TFY4205, TFY4255, FY8102, FY8203...]

Vi ser på elastisk spredning i en dimensjon.



To mulige utfall for en innkommende partikkel:

$$\left. \begin{array}{l} \text{Refleksjon, med sanns. } R \\ \text{Transmisjon, — " — } T \end{array} \right\} \Rightarrow \boxed{R+T=1}$$

Vi antar part. inn fra venstre, impuls  $p = \hbar k$  og energi  $E = \hbar^2 k^2 / 2m$  ( $V=0$  for  $x < 0$  og  $x > L$ ).



Bølge inn:  $\Psi_i(x) = e^{ikx}$

Bølge reflektert:  $\Psi_r(x) = r e^{-ikx}$

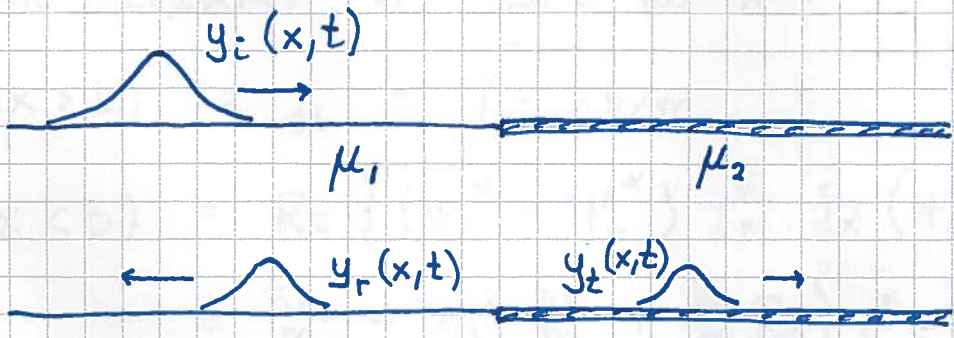
}  $x < 0$

Bølge transmittert:  $\Psi_t(x) = t e^{ikx}$

}  $x > L$

$0 < x < L$ :  $-\frac{\hbar^2}{2m} \Psi''(x) + V(x)\Psi(x) = E\Psi(x)$

Klassisk analogi: Bølge på streng ( $\mu$  = masse pr lengdeenhet)



Energi bevarelse:  $P_i = P_r + P_t$  ( $P$  = midlere effekt)

$T = P_t / P_i = \text{andel transm. effekt}$

$R = P_r / P_i = \text{andel refl. effekt}$

}  $T + R = 1$

Med plane partikkelbølger:

Sannsynlighetsbevarelse:  $j_i = |j_r| + j_t$

$j = \text{Re} \left\{ \Psi^* \frac{\hbar}{im} \Psi' \right\}$

$T = j_t / j_i = \text{transmisjonssanns.}$

$R = |j_r| / j_i = \text{refleksjonssanns.}$

}  $T + R = 1$

$$j_i = \operatorname{Re} \left\{ e^{-ikx} \frac{\hbar}{im} ik e^{ikx} \right\} = \frac{\hbar k}{m}$$

$$j_r = \operatorname{Re} \left\{ r^* e^{ikx} \frac{\hbar}{im} (-ik) r e^{-ikx} \right\} = -|r|^2 \frac{\hbar k}{m}$$

$$j_t = \operatorname{Re} \left\{ t^* e^{-ikx} \frac{\hbar}{im} ikt e^{ikx} \right\} = |t|^2 \frac{\hbar k}{m}$$

$$\Rightarrow R = |r|^2, \quad T = |t|^2$$

Sanns. strømmen er uavh. av  $x$ :

$$j(x > L) = j_t = T \cdot \hbar k / m$$

$$\begin{aligned} j(x < 0) &= \operatorname{Re} \left\{ (\psi_i^* + \psi_r^*) \frac{\hbar}{im} \frac{d}{dx} (\psi_i + \psi_r) \right\} \\ &= \frac{\hbar k}{m} - |r|^2 \frac{\hbar k}{m} + \frac{\hbar k}{m} \underbrace{\operatorname{Re} \left\{ r^* e^{2ikx} - r e^{-2ikx} \right\}}_{=0} \\ &= (1-R) \cdot \hbar k / m \\ &= T \cdot \hbar k / m \end{aligned}$$

Ikke urentet, siden vi her har en stasjonær tilstand

$$\Psi(x,t) = \psi(x) e^{-iEt/\hbar}$$

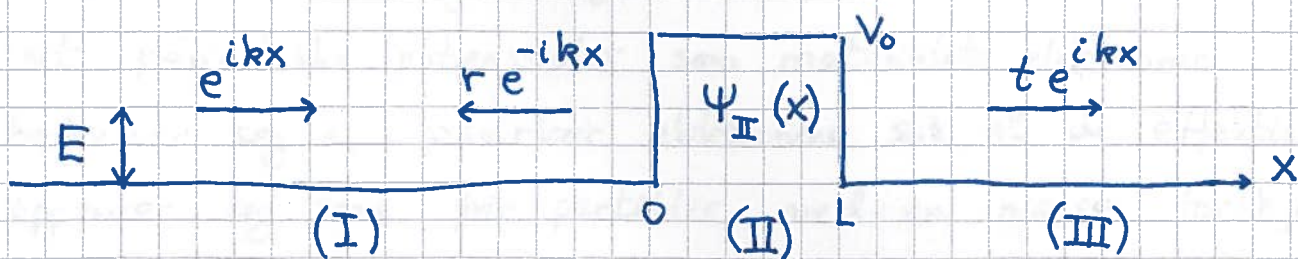
med  $\rho = |\Psi|^2 = |\psi(x)|^2$  uavhengig av tiden  $t$ .

Da gir kontinuitetsligningen

$$\frac{\partial j}{\partial x} = - \frac{\partial \rho}{\partial t} = 0$$



## Eks 1: Firkantbarriere



$$E < V_0 : \Psi_{II}'' - \kappa^2 \Psi_{II} = 0 ; \quad \kappa^2 = \frac{2m(V_0 - E)}{\hbar^2}$$

$$\Psi_{II}(x) = A e^{\kappa x} + B e^{-\kappa x}$$

$$E \geq V_0 : \Psi_{II}'' + q^2 \Psi_{II} = 0 ; \quad q^2 = \frac{2m(E - V_0)}{\hbar^2}$$

$$\Psi_{II}(x) = a e^{iqx} + b e^{-iqx}$$

Kravet om kontinuerlige  $\Psi$  og  $\Psi'$  i  $x=0$  og  $x=L$  gir 4 lign. som fastlegger  $A, B, r, t$  (ert  $a, b, r, t$ ).

For detaljer, se notater 2016, s. 63-64. Resultat:

$$E < V_0 : T = \left\{ 1 + \frac{\sinh^2(k_0 L \sqrt{1 - E/V_0})}{4 \frac{E}{V_0} (1 - E/V_0)} \right\}^{-1}$$

$$E > V_0 : T = \left\{ 1 + \frac{\sin^2(k_0 L \sqrt{E/V_0 - 1})}{4 \frac{E}{V_0} (E/V_0 - 1)} \right\}^{-1}$$

$$k_0^2 = \frac{2mV_0}{\hbar^2}$$

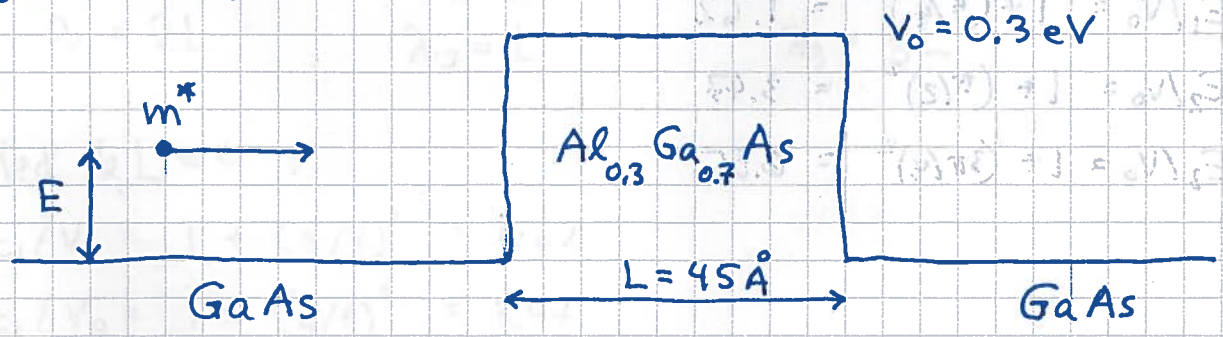
$$\sinh x = \frac{1}{2} (e^x - e^{-x}), \quad \sin x = \frac{1}{2i} (e^{ix} - e^{-ix})$$



Eks: Tynt lag med  $(Al_x Ga_{1-x})As$  mellom GaAs kontakter gir  $V_0 \approx 0.3 \text{ eV}$  når  $x \approx 0.3$ .

Det periodiske potensialet som materialets elektroner befinner seg i, påvirker elektronene slik at de effektivt oppfører seg som frie partikler, med en masse forskjellig fra  $m_e$ . Typisk er elektronenes effektive masse  $m^* \approx 0.1 m_e$  i halvledere som GaAs og  $(Al_x Ga_{1-x})As$ . Med (f.eks.)  $L = 45 \text{ \AA}$  blir da

$$k_0 L = \frac{\sqrt{2m^* V_0} L}{\hbar} \approx 4$$



- Tunneleffekt:  $T > 0$  for  $E < V_0$
- $R > 0$  også for  $E > V_0$
- $\lim_{E \rightarrow V_0^+} T(E) = \frac{1}{1 + (\frac{k_0 L}{2})^2} \stackrel{\text{her}}{=} 0.2$
- Hvis  $E \ll V_0$  og  $k_0 L \gg 1$ , er  $\sinh(k_0 L \sqrt{1 - E/V_0}) \approx \frac{1}{2} \exp(k_0 L \sqrt{1 - E/V_0}) \gg 1$   
 $\Rightarrow T(E) \approx (16E/V_0)(1 - E/V_0) \exp(-2k_0 L \sqrt{1 - E/V_0}) \ll 1$   
 og  $T$  antar eksponentielt med barrierehøyde og -tykkelse.
- Selv-interferens, stående bølger og resonans:  
 $T = 1$  når  $\sin(k_0 L \sqrt{E/V_0 - 1}) = 0$

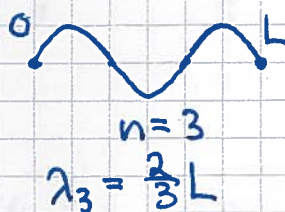
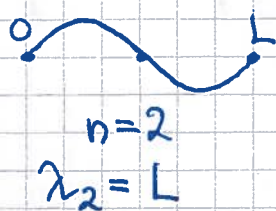
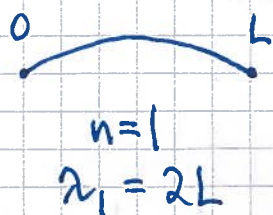


daa nar

$$k_0 L \sqrt{E/V_0 - 1} = L \sqrt{\frac{2m^*}{\hbar^2} (E - V_0)} = n\pi \quad ; \quad n = 1, 2, 3, \dots$$

$$\Rightarrow K_n = E - V_0 = \frac{\hbar^2 q_n^2}{2m^*} \quad \text{med} \quad q_n = \frac{n\pi}{L}, \quad \text{daa}$$

bogelengder  $\lambda_n = \frac{2\pi}{q_n} = \frac{2L}{n}$ , daa staende bogler i  
barriere området  $0 < x < L$ :



.....

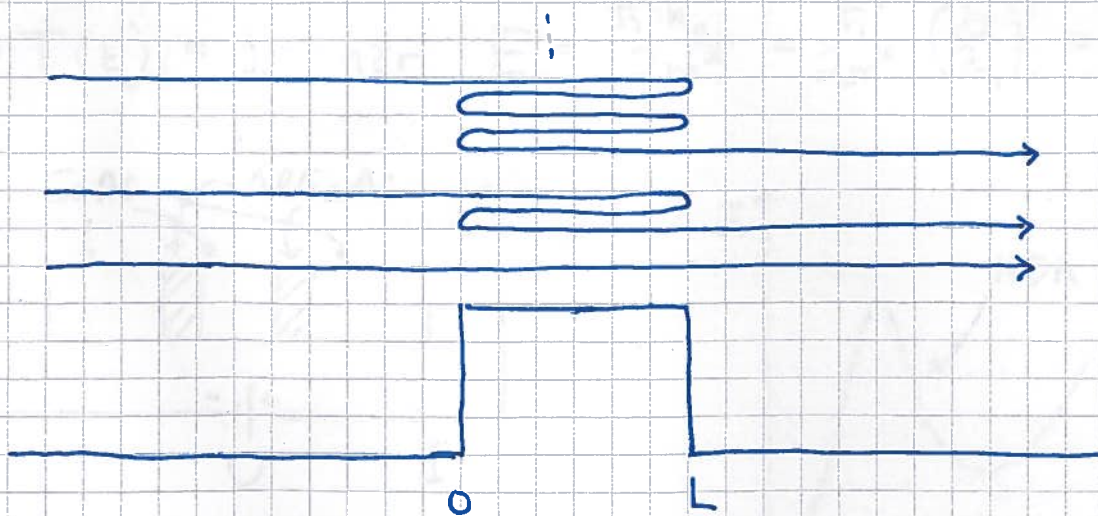
Med  $k_0 L = 4$ :

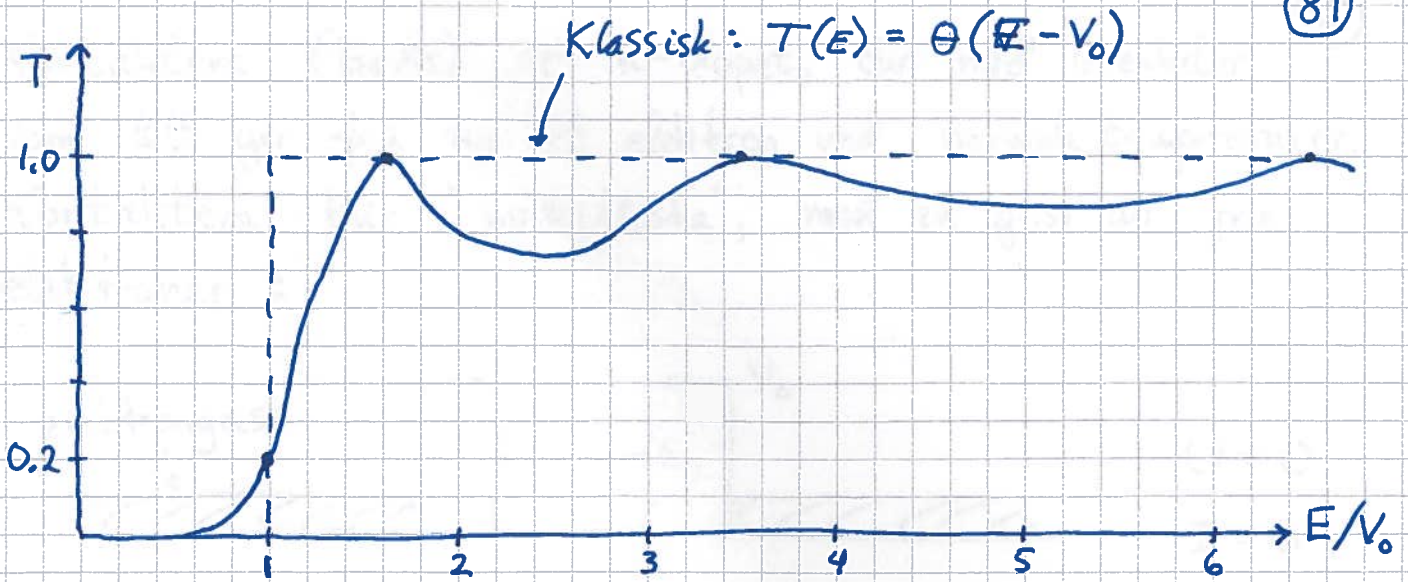
$$E_1/V_0 = 1 + (\pi/4)^2 = 1.62$$

$$E_2/V_0 = 1 + (\pi/2)^2 = 3.47$$

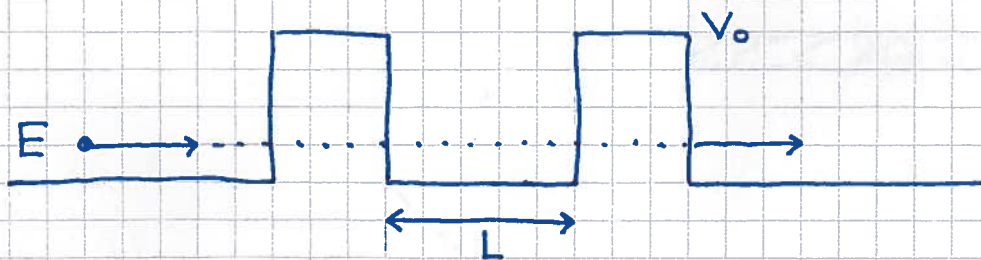
$$E_3/V_0 = 1 + (3\pi/4)^2 = 6.55 \quad \text{osv}$$

"Halvklassisk" tolkning: Konstruktiv interferens mellom  
baner med veilengdeforskjell  $n \cdot 2L$ :



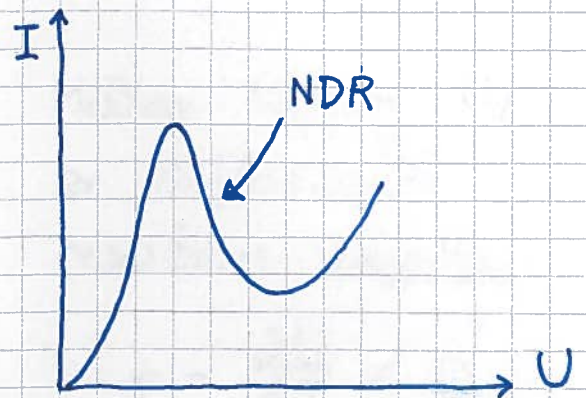
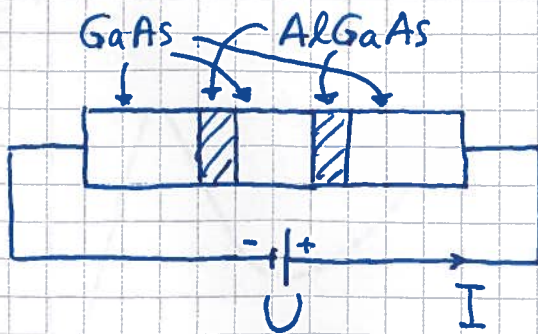


Resonant tunnelling og negativ differensiell resistans :



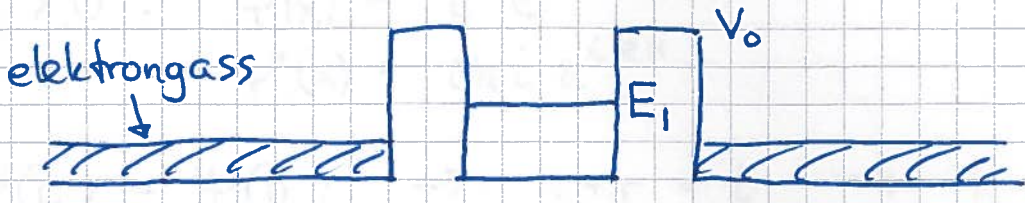
Resonans og konstruktiv interferens når bølglengden mellom de to barrierene har bredde  $L = n \cdot \lambda / 2$

$$\Rightarrow T(E_n) = 1 \text{ når } E_n = \frac{\hbar^2 k_n^2}{2m^*} = \frac{\hbar^2}{2m^*} \left(\frac{2\pi}{\lambda_n}\right)^2 = \frac{n^2 \pi^2 \hbar^2}{2m^* L^2}$$

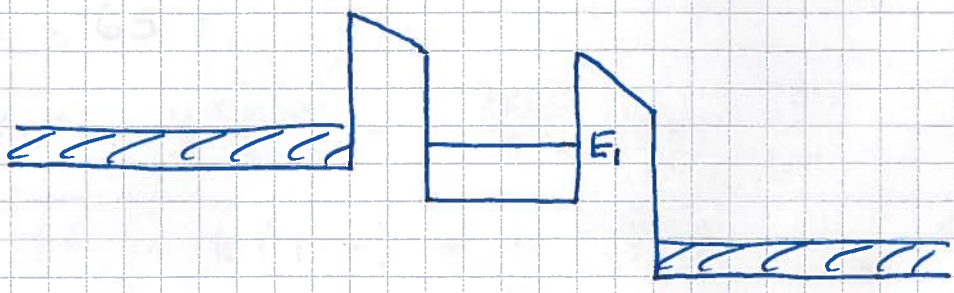




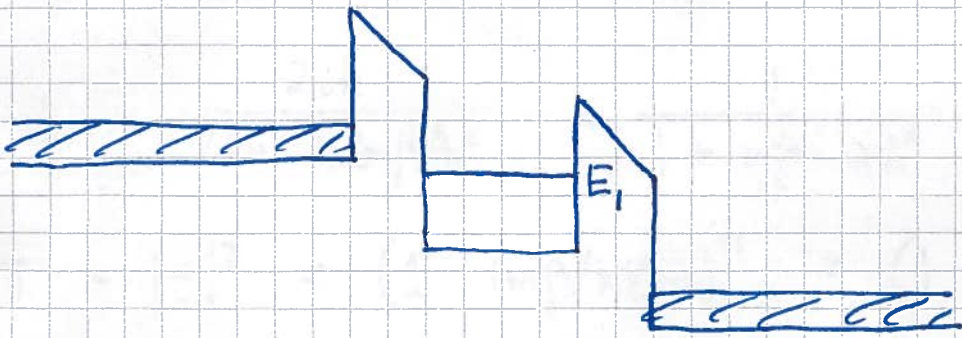
Kontaktene (GaAs) er n-dopet, dvs med urenheter som lett gir fra seg et elektron ved normale temperaturer. Kontaktene blir "metalliske", med en gass av frie elektroner :



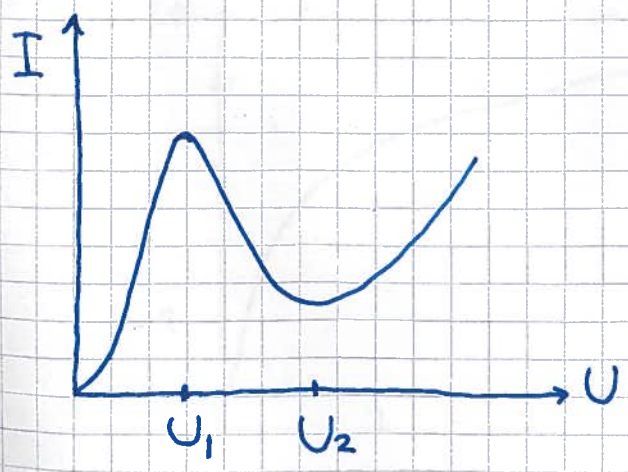
$U = 0$   
 $I = 0$



$U_1$   
 stor I



$U_2$   
 mindre I



Mellom  $U_1$  og  $U_2$  er differensiell resistans negativ,

$$r = \frac{dU}{dI} < 0$$

Molto interessante !!



Eks 2 : Spredning mot  $V(x) = -\beta \delta(x)$

$$x < 0 : \psi(x) = e^{ikx} + r e^{-ikx}$$

$$\psi'(x) = ik(e^{ikx} - r e^{-ikx})$$

$$x > 0 : \psi(x) = t e^{ikx}$$

$$\psi'(x) = ikt e^{ikx}$$

$$\psi(0^+) = \psi(0^-) \Rightarrow 1 + r = t \Rightarrow r = t - 1$$

Fra s. 65 :

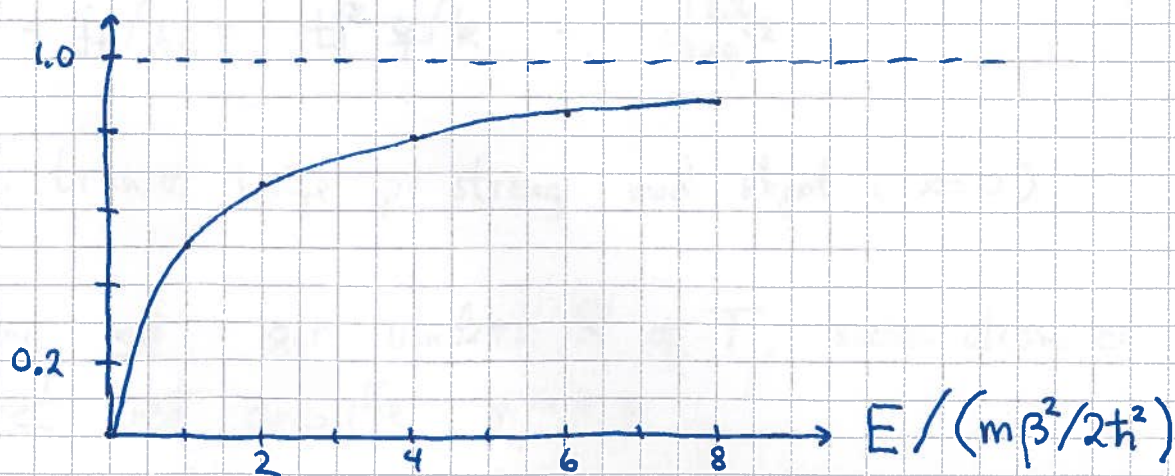
$$\psi'(0^+) - \psi'(0^-) = -\frac{2m\beta}{\hbar^2} \psi(0)$$

$$\Rightarrow ikt - ik(1-r) = -\frac{2m\beta}{\hbar^2} t \quad ; \quad r-1 = t-2$$

$$\Rightarrow ikt + ikt - 2ik = -\frac{2m\beta}{\hbar^2} t$$

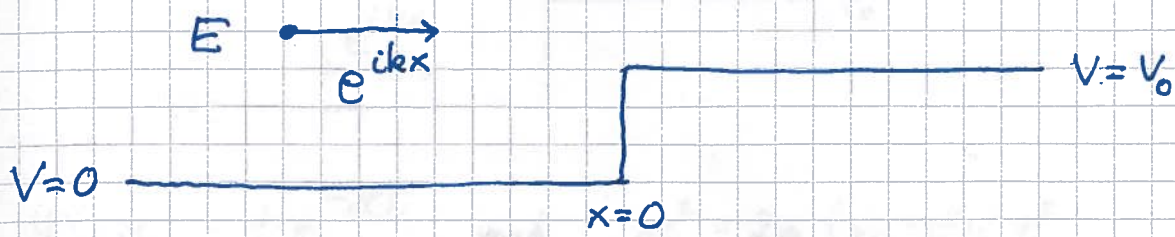
$$\Rightarrow t = \frac{2ik}{2ik + 2m\beta/\hbar^2} = \frac{1}{1 + m\beta/ik\hbar^2}$$

$$\Rightarrow T = |t|^2 = \left(1 + (m\beta/k\hbar^2)^2\right)^{-1} = \left(1 + m\beta^2/2E\hbar^2\right)^{-1}$$



Pussighet: Samme  $T(E)$  for  $\delta$ -brønn ( $\beta > 0$ ) og  $\delta$ -barriere ( $\beta < 0$ ) !!

### Eks 3: Potentialsprang



$$E > V_0: \Psi(x) = \begin{cases} e^{ikx} + r e^{-ikx} & ; x < 0 \\ t e^{iqx} & ; x > 0 \end{cases}$$

med  $k^2 = 2mE/\hbar^2$ ,  $q^2 = 2m(E - V_0)/\hbar^2$

Kontinuerlig  $\Psi$  og  $\Psi'$  i  $x = 0$  gir

$$1 + r = t \quad \text{og} \quad ik(1 - r) = iqt$$

$$\Rightarrow r = \frac{k - q}{k + q}, \quad t = \frac{2k}{k + q}$$

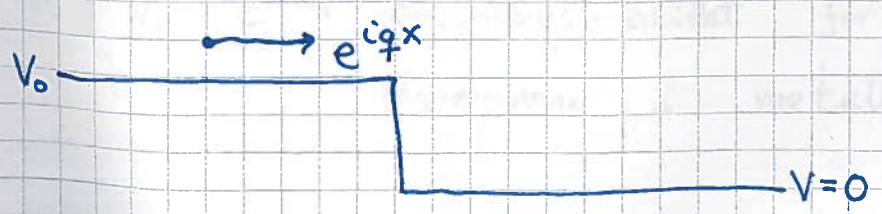
$$j_i = \hbar k/m, \quad j_r = -|r|^2 \hbar k/m, \quad j_t = |t|^2 \hbar q/m$$

$$\Rightarrow R = |j_r|/j_i = |r|^2 = \left(\frac{k - q}{k + q}\right)^2 ;$$

$$T = j_t/j_i = |t|^2 q/k = \frac{4kq}{(k + q)^2}$$

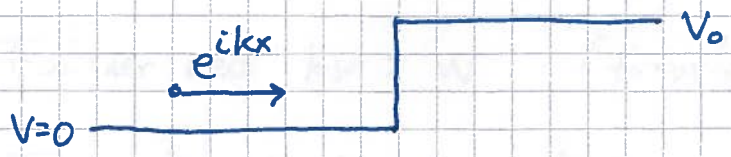
(Jf. transv. bølge på streng med skjøt i  $x = 0$ )

Sprang ned gir uendret R og T, siden disse er uendret ved ombytte  $k \leftrightarrow q$ :





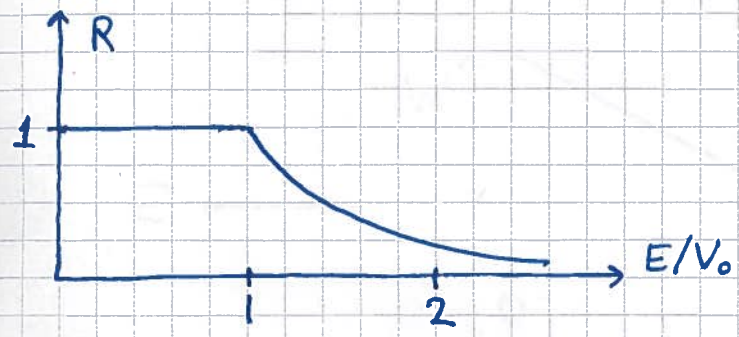
$E < V_0$  må gi  $R = 1$  og  $T = 0$  :



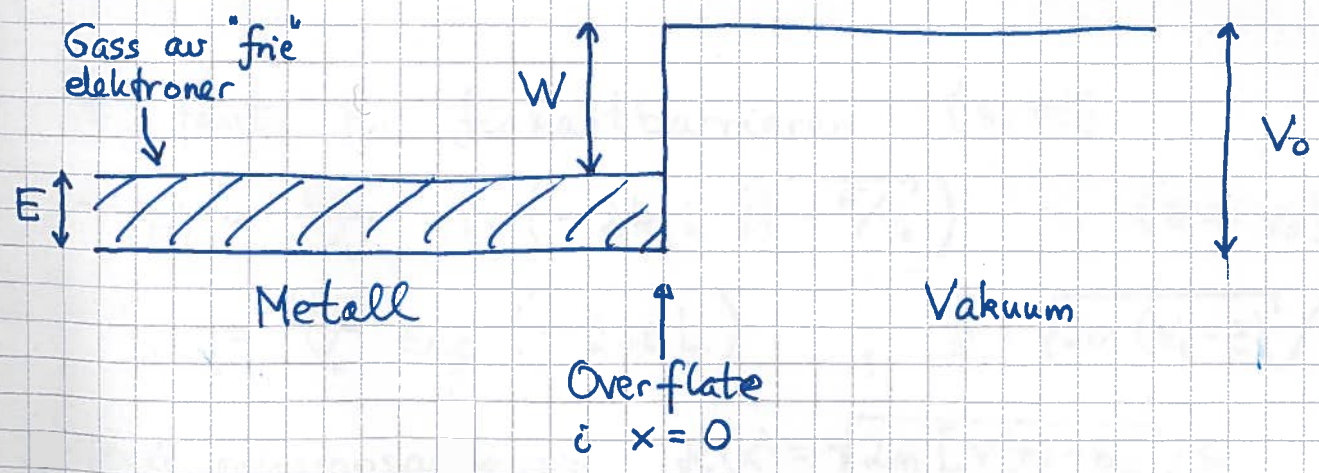
$\psi(x > 0) = t e^{-\alpha x}$  med  $\alpha^2 = 2m(V_0 - E)/\hbar^2$

$\Rightarrow 1 + r = t, \quad ik(1 - r) = -\alpha t$

$\Rightarrow R = |r|^2 = \left| \frac{\alpha - ik}{\alpha + ik} \right|^2 = 1 \quad ; \quad \text{OK}$



Feltemisjon [ PCH 3.6.4 ; IØ 3.6.g ]



$W = V_0 - E =$  frigjøringsarbeidet for de mest energirike elektronene i metallet

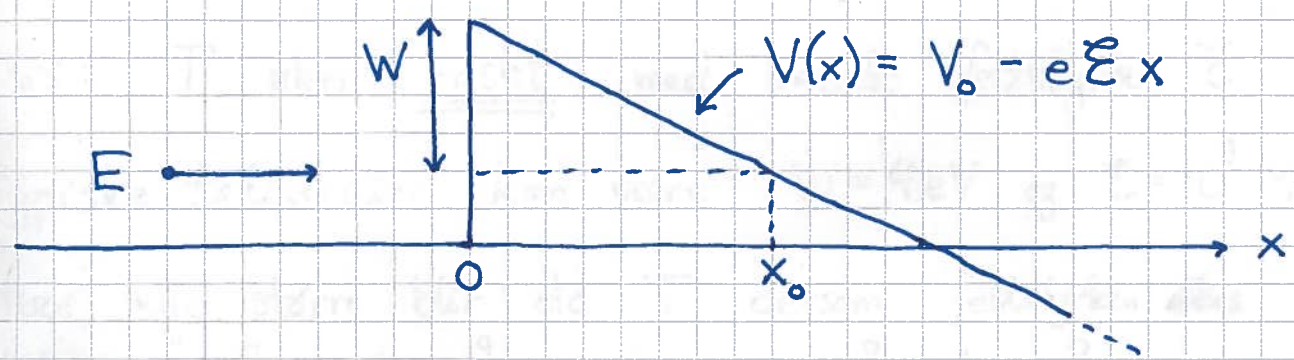


Diverse måter å få elektroner ut av metallet på:

- Fotoner med  $h\nu > W$  (fotoelektrisk effekt)
- Termisk eksitasjon,  $k_B T \approx W$
- Elektrisk felt kombinert med tunnelling

Anta elektrisk felt  $\perp$  overflaten:

$$\vec{F} = -\hat{x} \frac{dU}{dx} = \hat{x} \frac{1}{e} \frac{dV}{dx}$$



$$V(x_0) = E \Rightarrow V_0 - eE x_0 = V_0 - W$$

$$\Rightarrow x_0 = W/eE$$

Vi fant, for firkantbarrieren (s. 79):

$$T(E) \approx \frac{16E}{V_0} \exp(-2k_0 L \sqrt{1 - E/V_0}) \quad (E \ll V_0)$$

$$= \frac{16E}{V_0} \exp(-2\hbar L) \quad ; \quad \hbar = \sqrt{2m(V_0 - E)}/\hbar$$

Med posisjonsavhengig  $\hbar(x) = \sqrt{2m[V(x) - E]}/\hbar$   
 kan vi med god tilnærming<sup>(\*)</sup> erstatte  $\exp(-2\hbar L)$   
 med  $\exp[-2 \int_0^{x_0} \hbar(x) dx]$

---

(\*) Mer om WKB-tilnærmelsen i TFY4205



$$\begin{aligned} \text{Her er } \phi(x) &= \sqrt{2m(V_0 - eEx - E)} / \hbar \\ &= \sqrt{2m(W - eEx)} / \hbar \end{aligned}$$

slik at transmisjonssannsynligheten avhenger av feltet  $\mathcal{E}$  slik:

$$\begin{aligned} T &\sim \exp \left[ -2 \int_0^{W/e\mathcal{E}} \sqrt{2m(W - eEx)} dx / \hbar \right] \\ &= \exp \left[ - \frac{4\sqrt{2m} W^{3/2}}{3\hbar e \mathcal{E}} \right] \end{aligned}$$

Dvs:  $T$  øker raskt med økende feltstyrke  $\mathcal{E}$ .

Typiske tallverdier kan være  $W = 4\text{eV}$  og  $\mathcal{E} = 10^9 \text{V/m}$ .

Hvor mye større blir da  $T$  dersom feltstyrken ~~blir~~ dobles, fra  $\frac{1}{2} \cdot 10^9 \text{V/m}$  til  $10^9 \text{V/m}$  ?

Svar:

$$\frac{T(\mathcal{E})}{T(\mathcal{E}/2)} = \exp \left[ \frac{4\sqrt{2m} W^{3/2}}{3\hbar e \mathcal{E}} \right]$$

som med  $m = m_e = 9.1 \cdot 10^{-31} \text{kg}$  er ca

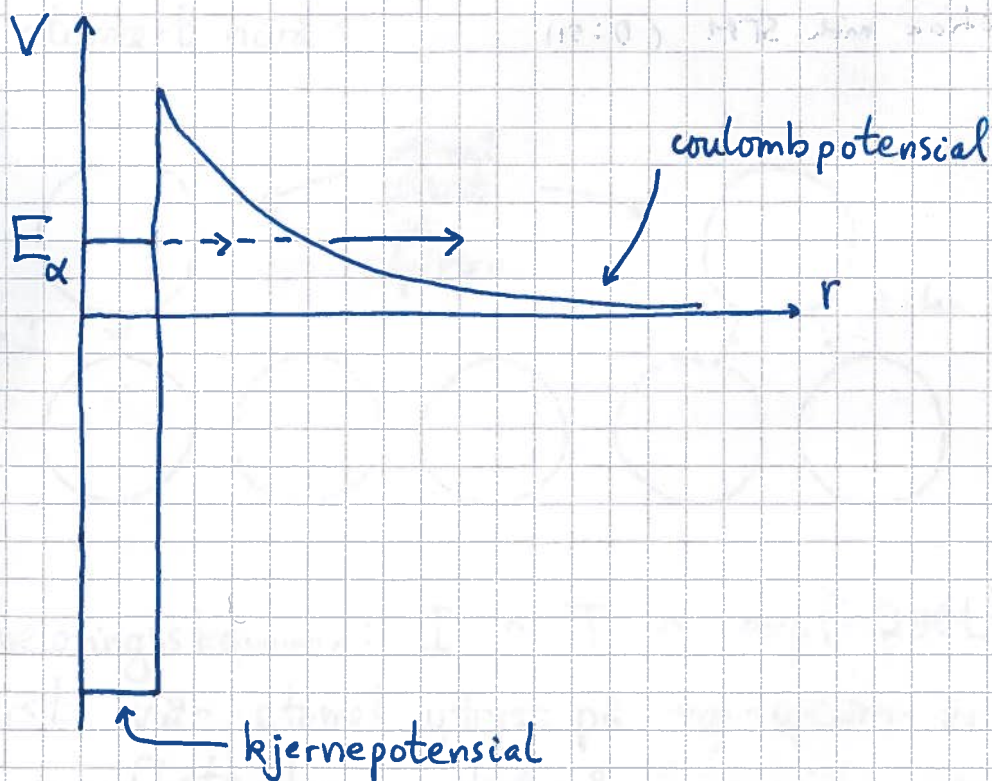
$$\exp(55) \approx 10^{24}$$

## $\alpha$ -stråling [PCH 3.6.4; DFG 8.2 ; IØ 3.6.a]

Tunge atomkjerner er ustabile og kan spontant sende ut en  $\alpha$ -partikkel, dvs en heliumkjerne  ${}^4_2\text{He}^{2+}$ .

Eks:  ${}^{212}_{84}\text{Po} \rightarrow {}^{208}_{82}\text{Pb} + \alpha$  ; levetid ca  $0.3 \mu\text{s}$

George Gamow (1928) foreslo et modellpotensial som kombinerer en sterk tiltrekkende kjernekraft med kort rekkevidde og en svakere frastøtende coulombkraft med lang rekkevidde :



$\alpha$ -partikkelen befinner seg i en metastabil tilstand med energi  $E_\alpha$  inni kjernen. Med  $E_\alpha > 0$

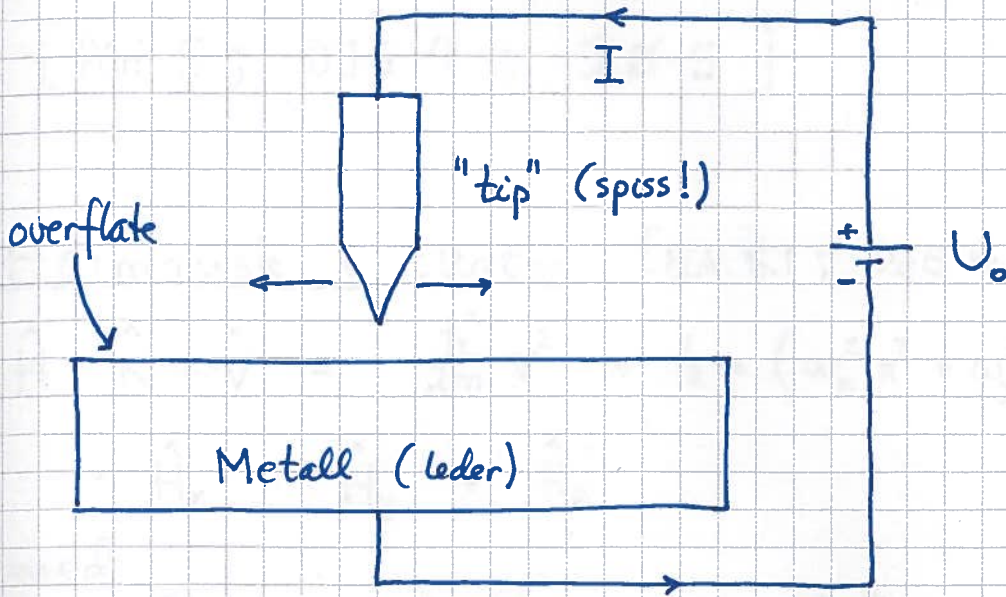
( $V(r \rightarrow \infty) = 0$ ) har  $\alpha$ -partikkelen en viss sannsynlighet for å tunnelere ut av kjernen.



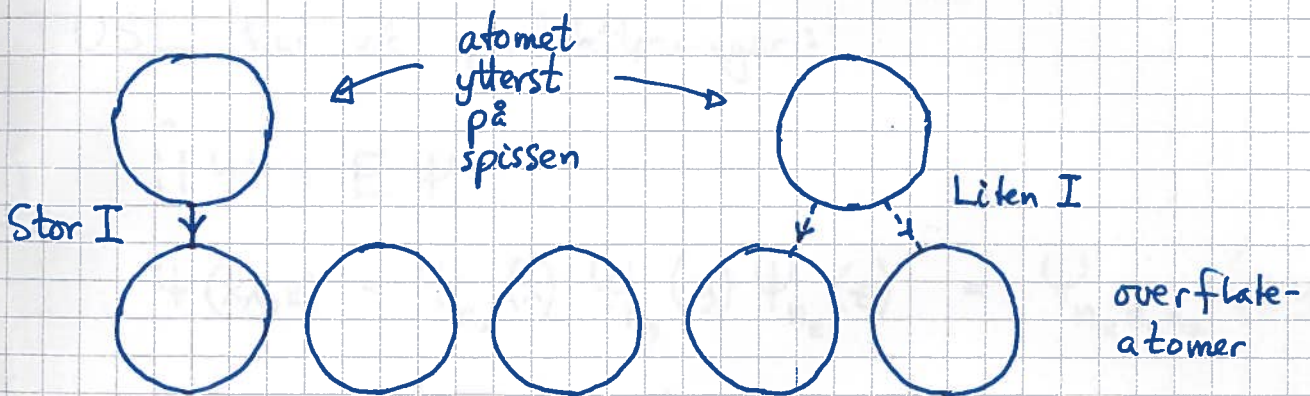
# Tunneleringsmikroskop

[PCH 3.6.4 ; IØ 3.6.h]

(89)



På atomært nivå:



Tunneleringsstrømmen:  $I \sim T \sim \exp(-2\kappa L)$  er størst når atomet ytterst på tip-spissen er rett over et overflateatom. Ved å "scanne" tipen fram og tilbake nær overflaten og måle  $I(x, y)$  oppnås en avbildning av overflaten på atomært nivå.

Binnig & Rohrer, NP 1986

STM: Scanning Tunneling Microscopy

# Kvantemekanikk i to og tre dimensjoner

[PCH 5; DFG 4; IØ 5]

## Harmonisk oscillator [PCH 5.1; DFG Problem 4.39; IØ 5.1]

$$\hat{H} = \hat{K} + \hat{V} = -\frac{\hbar^2}{2m} \nabla^2 + \frac{1}{2} m (\omega_x^2 x^2 + \omega_y^2 y^2 + \omega_z^2 z^2)$$

$$= \hat{H}_x + \hat{H}_y + \hat{H}_z$$

med

$$\hat{H}_x = -\frac{\hbar^2}{2m} \frac{\partial^2}{\partial x^2} + \frac{1}{2} m \omega_x^2 x^2, \quad \text{og tilsvarende for } \hat{H}_y \text{ og } \hat{H}_z$$

TUSL har nå produktløsninger:

$$\hat{H} \Psi = E \Psi$$

$$\Psi(x, y, z) = \Psi_{n_x}(x) \Psi_{n_y}(y) \Psi_{n_z}(z) = \Psi_{n_x n_y n_z}(x, y, z)$$

$$E = \frac{\hat{H} \Psi}{\Psi} = \underbrace{\frac{\hat{H}_x \Psi_{n_x} \cancel{\Psi_{n_y}} \cancel{\Psi_{n_z}}}{\cancel{\Psi_{n_x}} \cancel{\Psi_{n_y}} \cancel{\Psi_{n_z}}}}_{\text{kun avh. av } x} + \underbrace{\frac{\hat{H}_y \Psi_{n_y}}{\Psi_{n_y}}}_{\text{kun avh. av } y} + \underbrace{\frac{\hat{H}_z \Psi_{n_z}}{\Psi_{n_z}}}_{\text{kun avh. av } z}$$

Bare mulig dersom hvert ledd på høyre side er en konstant:

$$\frac{\hat{H}_x \Psi_{n_x}}{\Psi_{n_x}} = E_x \Rightarrow \hat{H}_x \Psi_{n_x} = E_x \Psi_{n_x}, \quad \text{som er TUSL}$$

for en 1D harm. osc., og da vet vi at

$$E_x = (n_x + \frac{1}{2}) \hbar \omega_x \quad \text{med } n_x = 0, 1, 2, \dots$$



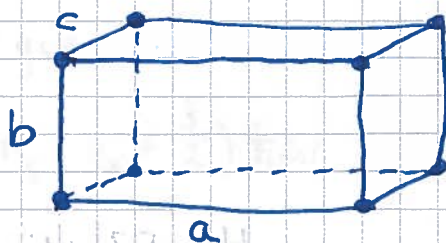
Og tilsvarende:

$$\hat{H}_y \Psi_{n_y} = E_y \Psi_{n_y} ; E_y = (n_y + \frac{1}{2}) \hbar \omega_y ; n_y = 0, 1, 2, \dots$$

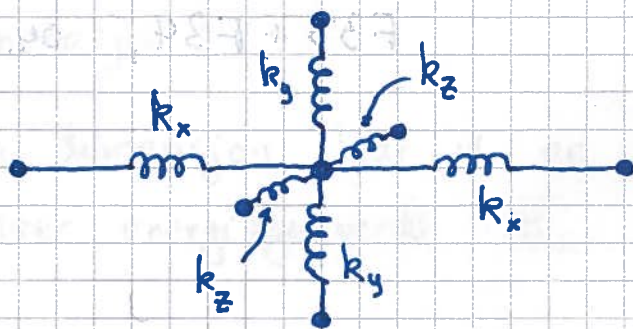
$$\hat{H}_z \Psi_{n_z} = E_z \Psi_{n_z} ; E_z = (n_z + \frac{1}{2}) \hbar \omega_z ; n_z = 0, 1, 2, \dots$$

Total energi :  $E = E_x + E_y + E_z$

Eks: Vibrasjonsbevegelsen til atomene i en primitiv ortorombisk krystall.



$$a \neq b \neq c$$



Hvis  $a = b = c$ , blir krystallen primitiv kubisk, med  $k_x = k_y = k_z = k$ , dvs  $\omega_x = \omega_y = \omega_z = \omega$  :



Da har vi en 3D isotrop oscillator

## Isotrop harmonisk oscillator:

(92)

$$V(x, y, z) = \frac{1}{2} m \omega^2 (x^2 + y^2 + z^2) = \frac{1}{2} m \omega^2 r^2 = V(r)$$

det retningsuavhengig, kulesymmetrisk potensial, med en radielt rettet kraft

$$\vec{F} = -\nabla V = -\hat{r} \frac{\partial V}{\partial r} = -m\omega^2 r \hat{r},$$

en såkalt sentralkraft.

Mulige energier:

$$E_N = (n_x + n_y + n_z + \frac{3}{2}) \hbar \omega = (N + \frac{3}{2}) \hbar \omega$$

der  $n_x, n_y, n_z = 0, 1, 2, \dots$ , dvs  $N = 0, 1, 2, \dots$

## Degenerasjon:

I en dimensjon har vi en egenfunksjon  $\psi_n(x)$  for hver energieigenverdi  $E_n$ .

I to eller flere dimensjoner, og med et symmetrisk potensial, oppstår degenerasjon, dvs to eller flere tilstander for en og samme energi.

Degenerasjonsgrad:

$$g_N = \text{antall tilstander med energi } E_N$$



For isotrop oscillator i 3D:

$$E_0 = \frac{3}{2} \hbar \omega ; \quad \Psi_{000} = \Psi_0(x) \Psi_0(y) \Psi_0(z) \sim e^{-m\omega r^2/2\hbar}$$

$$\Rightarrow g_0 = 1$$

$$E_1 = \frac{5}{2} \hbar \omega ; \quad \Psi_{100} = \Psi_1(x) \Psi_0(y) \Psi_0(z) \sim x e^{-m\omega r^2/2\hbar}$$

$$\Psi_{010} \sim y e^{-m\omega r^2/2\hbar}$$

$$\Psi_{001} \sim z e^{-m\omega r^2/2\hbar}$$

$$\Rightarrow g_1 = 3$$

$$E_N = (N + \frac{3}{2}) \hbar \omega ; \quad \Psi_{N00}, \Psi_{N-1,1,0}, \Psi_{N-1,0,1}, \dots$$

Kan ha  $n_x = 0, 1, \dots, N$ . For gitt  $n_x$  kan vi ha  $n_y = 0, \dots, N - n_x$ , dvs  $N - n_x + 1$  mulige  $n_y$  for gitt  $n_x$ . For gitt  $n_x$  og  $n_y$  er  $n_z = N - n_x - n_y$ , kun en mulighet.

Dermed:

$$g_N = \sum_{n_x=0}^N (N - n_x + 1)$$

$$= (N+1) + N + (N-1) + \dots + 3 + 2 + 1$$

$$= \sum_{j=1}^{N+1} j = \frac{(N+1)(N+2)}{2}$$

[Trolig kjent sum fra før. For odde  $N$  har vi  $\frac{N+1}{2} \cdot (N+2)$

ved å kombinere  $(N+1)+1, N+2, (N-1)+3, \dots$

For like  $N$  har vi største leddet  $(N+1)$ , samt  $\frac{N}{2} \cdot (N+1)$

ved å kombinere  $N+1, (N-1)+2, \dots$ , dvs

$$(1 + N/2) \cdot (N+1) = \frac{1}{2} (2+N)(N+1). ]$$



Bytte av basis:

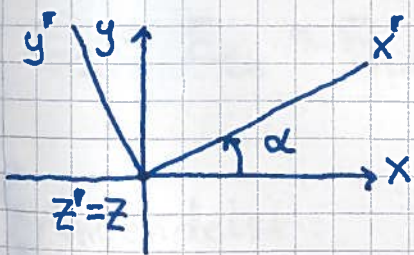
Med isotropt potensial  $V(r)$  er ingen retninger unike / spesielle / foretrukne. En partikkel som er i et degenerert energinivå, kan da beskrives av en av de beregnede egentilstandene, eller en vilkårlig (normert) linearkombinasjon av disse.

Eks: Isotrop harm. osc., partikkel med energi  $E_1 = \frac{5}{2} \hbar \omega$ .

Med valgt koordinatsystem  $(x, y, z)$  er (normerte) egentilstander i utgangspunktet (s. 93)  $\Psi_{100} \equiv (100)$ ,  $\Psi_{010} \equiv (010)$ ,  $\Psi_{001} \equiv (001)$ .

Da er også  $c_1 (100) + c_2 (010) + c_3 (001)$  en egentilstand med energi  $E_1$ , og normert dersom  $|c_1|^2 + |c_2|^2 + |c_3|^2 = 1$ .

Et konkret eksempel silsvarer rotasjon av koord.systemet om z-aksen



TUSL med  $(x, y, z)$  gir  
 $(100) \sim x \exp(-m\omega r^2/2\hbar)$  osv  
 TUSL med  $(x', y', z')$  gir  
 $(100)' \sim x' \exp(-m\omega r^2/2\hbar)$  osv

$\Rightarrow$  Sammenhengen mellom  $\Psi'$  og  $\Psi$  må bli den samme som mellom  $(x', y', z')$  og  $(x, y, z)$ . Fra figuren:  $z' = z$ ,  
 $x' = x \cos \alpha + y \sin \alpha$ ,  $y' = -x \sin \alpha + y \cos \alpha$ .

På matrise- og vektorform:

$$\begin{pmatrix} x' \\ y' \\ z' \end{pmatrix} = A \begin{pmatrix} x \\ y \\ z \end{pmatrix}; \quad \begin{pmatrix} (100)' \\ (010)' \\ (001)' \end{pmatrix} = A \begin{pmatrix} (100) \\ (010) \\ (001) \end{pmatrix}; \quad A = \begin{pmatrix} \cos \alpha & \sin \alpha & 0 \\ -\sin \alpha & \cos \alpha & 0 \\ 0 & 0 & 1 \end{pmatrix}$$

Dvs, som "skifte av basis" fra lineær algebra.